

В.Г.Фокин

МЕТОД ПОЛОСОК ДЛЯ ОПРЕДЕЛЕНИЯ
ОСТАТОЧНЫХ НАПРЯЖЕНИЙ В ОРТОТРОПНОЙ ПЛАСТИНЕ

Метод полосок для изотропной пластины рассматривался в работах [1] [2]. В настоящей статье этот метод развивается применительно к определению остаточных напряжений $\sigma_x(z)$, $\sigma_y(z)$, $\tau_{xy}(z)$ в ортотропной пластине.

Полагаем, что направления плоскостей упругой симметрии пластины известны и они совпадают с координатными осями x, y, z (рис.1). Остаточные напряжения, как в работе [2], принимаем зависящими только от координаты z . Из этого вытекает $\sigma_z = \tau_{xz} = \tau_{yz} = 0$.

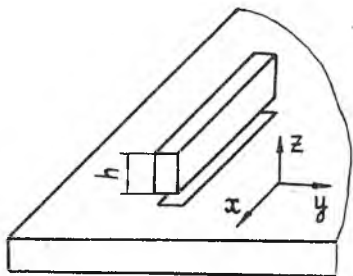


Рис.1

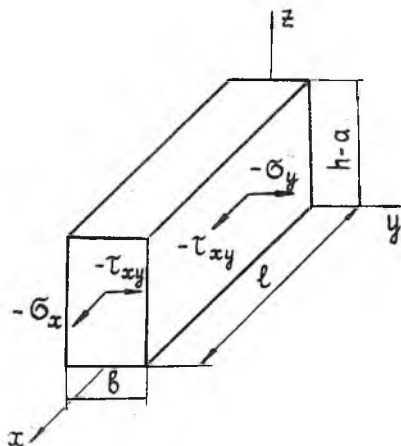


Рис.2

Рассмотрим полосу, вырезанную из пластины в направлении оси x без верхнего слоя толщиной a (рис.2). Вырезка эквивалентна приложению к краям полосы распределенных сил $-\sigma_x$, $-\sigma_y$, $-\tau_{xy}$, равных по величине, но противоположных по направлению соответствующим остаточным напряжениям. Как нормальные, так и касательные эквивалентные усилия самоуравновешены, поэтому допустимо рассматривать их раздельно.

Силы $-\sigma_x$ по Сен-Венану заменим парой сил с моментом M_1 и силой N_1 :

$$M_1(a) = -b \int_0^{h-a} \left[z - \frac{h-a}{2} \right] \sigma_x(z) dz, \quad N_1(a) = -b \int_0^{h-a} \sigma_x(z) dz. \quad (1)$$

Нагружение силами $-\sigma_y$ можно представить как сумму плоской деформации и изгиба с растяжением. Прогиб и продольная деформация определяются через момент M_2 и силу N_2 , которые надо приложить к торцам, чтобы компенсировать торцевые усилия, обусловленные плоской деформацией.

Введем следующие обозначения для напряжений при плоской деформации:

$$\sigma_{y\partial} = \sigma_{y\partial}(y, z), \quad \sigma_{z\partial} = \sigma_{z\partial}(y, z)$$

$$\sigma_{x\partial} = \sigma_{x\partial}(y, z) = \nu_{xy} \sigma_{y\partial} + \nu_{xz} \sigma_{z\partial}, \quad \tau_{yz\partial} = \tau_{yz\partial}(y, z). \quad (2)$$

Тогда

$$M_2(a) = -b \int_{-b/2}^{b/2} \int_0^{h-a} \left(z - \frac{h-a}{2} \right) \sigma_{x\partial}(y, z) dy dz, \quad N_2(a) = -b \int_{-b/2}^{b/2} \int_0^{h-a} \sigma_{x\partial}(y, z) dy dz. \quad (3)$$

Из условий равновесия частей полосы имеем

$$\int_0^{h-a} \sigma_{y\partial} dz = - \int_0^{h-a} \sigma_y dz, \quad \int_0^{h-a} z \sigma_{y\partial} dz = - \int_0^{h-a} z \sigma_y dz, \quad \int_{-b/2}^{b/2} \sigma_{z\partial} dy = 0. \quad (4)$$

Учитывая (2) и (4), из (3) найдем

$$M_2(a) = b \int_0^{h-a} \left(z - \frac{h-a}{2} \right) \nu_{xy} \sigma_y(z) dz, \quad N_2(a) = b \int_0^{h-a} \nu_{xy} \sigma_y(z) dz. \quad (5)$$

Прогиб полоски в середине пролета равен [3]

$$f_x(a) = \frac{3(M_1 + M_2)l^2}{2b(h-a)^3 E_x} = -\frac{3l^2}{2E_x(h-a)^3} \int_0^{h-a} \left(z - \frac{h-a}{2}\right) [\sigma_x(z) - \nu_{xy} \sigma_y(z)] dz, \quad (6)$$

а деформация нижних волокон -

$$\varepsilon_x(a) = -\frac{6(M_1 + M_2)}{b(h-a)^2 E_x} + \frac{(N_1 + N_2)}{b(h-a) E_x} =$$

$$= \frac{1}{E_x} \int_0^{h-a} \left[\frac{6}{(h-a)^2} \left(z - \frac{h-a}{2}\right) - \frac{1}{(h-a)} \right] [\sigma_x(z) - \nu_{xy} \sigma_y(z)] dz. \quad (7)$$

Если вырезать из пластины такую же полоску в направлении оси y , то будем иметь

$$f_y(a) = -\frac{3l^2}{2E_y(h-a)^3} \int_0^{h-a} \left(z - \frac{h-a}{2}\right) [\sigma_y(z) - \nu_{yx} \sigma_x(z)] dz, \quad (8)$$

$$\varepsilon_y(a) = \frac{1}{E_y} \int_0^{h-a} \left[\frac{6}{(h-a)^2} \left(z - \frac{h-a}{2}\right) - \frac{1}{h-a} \right] [\sigma_y(z) - \nu_{yx} \sigma_x(z)] dz. \quad (9)$$

Через E_x , E_y , ν_{xy} , ν_{yx} обозначены упругие постоянные ортотропного тела.

Далее рассмотрим действие касательных сил - τ_{xy} . Ищем решение для перемещений в направлении осей x , y , z в виде

$$u = \theta \varphi_1(y, z) + \varphi_2(y, z), \quad v = -\theta xz, \quad w = \theta xy. \quad (10)$$

Из уравнений равновесия и условий на границах вытекает, что функции $\varphi_1 = \varphi_1(y, z)$ и $\varphi_2 = \varphi_2(y, z)$ должны удовлетворять следующим соотношениям:

$$\frac{\partial^2 \varphi_1}{\partial y^2} + \rho \frac{\partial^2 \varphi_1}{\partial z^2} = 0, \quad \frac{\partial \varphi_1}{\partial y} \Big|_{y = \pm \frac{b}{2}} = z, \quad \frac{\partial \varphi_1}{\partial z} \Big|_{\substack{z=0 \\ z=h-a}} = -y, \quad (11)$$

$$\frac{\partial^2 \varphi_2}{\partial y^2} + \rho \frac{\partial^2 \varphi_2}{\partial z^2} = 0, \quad \frac{\partial \varphi_2}{\partial y} \Big|_{y = \pm \frac{b}{2}} = -\frac{\tau_{xy}}{G_{xy}}, \quad \frac{\partial \varphi_2}{\partial z} \Big|_{\substack{z=0 \\ z=h-a}} = 0, \quad (12)$$

где $\rho = \frac{G_{xz}}{G_{xy}}$; G_{xy} , G_{xz} - упругие постоянные ортотропного тела при сдвиге.

Решая (II) и (I2) методом Фурье (при этом удобно вместо φ_1 ввести функцию $\Phi = \varphi_1 + xy$), получим

$$\varphi_1 = - \sum_{k=1,3,5,\dots}^{\infty} \frac{8}{(h-a)\beta_k^3 \sqrt{\rho} \operatorname{ch} \omega_k \frac{b}{2}} \operatorname{sh} \omega_k y \cdot \cos \beta_k z + (h-a)y - z y + c_1 \quad (I3)$$

$$\varphi_2 = \sum_{k=1}^{\infty} \frac{\alpha_k}{G_{xy} \omega_k \operatorname{ch} \omega_k \frac{b}{2}} \operatorname{sh} \omega_k y \cdot \cos \beta_k z + \frac{\alpha_0}{2G_{xy}} y + c_2, \quad (I4)$$

где

$$\beta_k = \frac{k\pi}{h-a}, \quad \omega_k = \beta_k \sqrt{\rho}, \quad \alpha_k = - \frac{2}{h-a} \int_0^{h-a} \tau_{xy}(z) \cos \beta_k z dz. \quad (I5)$$

Условия на торцах удовлетворяются по Сен-Венану. Угол закручивания θ определяется из равенства момента внутренних сил моменту от нагрузки $-\tau_{xy}$. После интегрирования это равенство приводится к виду

$$\theta(a) \left[\frac{G_{xy} b(h-a)^3}{3} - \sum_{k=1,3,5,\dots}^{\infty} \frac{64 G_{xy}}{(h-a)\sqrt{\rho} \beta_k^5} \operatorname{th} \omega_k \frac{b}{2} \right] =$$

$$= - \int_0^{h-a} b \tau_{xy}(z) \left[h-a-2z - \sum_{k=1,3,5,\dots}^{\infty} \frac{16 \operatorname{th} \omega_k \frac{b}{2}}{\sqrt{\rho} \beta_k^3 \operatorname{ch}(\omega_k \frac{b}{2})} \cos \beta_k z \right] dz \quad (I6)$$

Таким образом, нагрузка $-\tau_{xy}$ вызывает закручивание полоски и деформацию сечений. Напряженное состояние характеризуется двумя компонентами:

$$\tau_{xz} = G_{xz} \left(\frac{\partial u}{\partial z} + \frac{\partial w}{\partial x} \right) = G_{xz} \theta \left(\frac{\partial \varphi_1}{\partial z} + y \right) + G_{xz} \frac{\partial \varphi_2}{\partial z}$$

$$\tau_{xy} = G_{xy} \left(\frac{\partial u}{\partial y} + \frac{\partial v}{\partial x} \right) = G_{xy} \theta \left(\frac{\partial \varphi_1}{\partial y} - z \right) + G_{xy} \frac{\partial \varphi_2}{\partial y}. \quad (I7)$$

Соотношения (I0) - (I7) представляют собой решение задачи Мичелла для ортотропного бруса прямоугольного сечения при кососимметричной касательной нагрузке на боковых гранях. Такая задача ранее не рассматривалась, так как считалось, что у нее нет практического приложения [3].

Зависимости (6) - (9), (16) позволяют определять остаточные напряжения в ортотропной пластине методом полосок. С этой целью надо из пластины вырезать две полоски в направлении осей x , y , а затем последовательно удалять слои материала, измеряя при этом углы закручивания на единицу длины $\theta(a)$ и прогибы $f_x(a)$, $f_y(a)$ или деформации $\varepsilon_x(a)$, $\varepsilon_y(a)$. Тогда выражения (6) - (9), (16) будут являться интегральными уравнениями для искомых остаточных напряжений.

Уравнения (6) - (9) удается решить аналитически. Сделаем в них замену переменной по формуле $z = h - \xi$, после чего продифференцируем два раза по параметру a и затем проинтегрируем полученные дифференциальные уравнения.

Постоянные интегрирования найдем через начальные условия, которые определяются после первого дифференцирования уравнений (6) - (9) по a , если учесть, что остаточные напряжения самоуравновешены. В результате получим следующие формулы для расчета нормальных остаточных напряжений:

$$\sigma_x(a) = \frac{\sigma_{xp}(a) + \nu_{xy} \sigma_{yp}(a)}{1 - \nu_{xy} \nu_{yx}}, \quad \sigma_y(a) = \frac{\sigma_{yp}(a) + \nu_{yx} \sigma_{xp}(a)}{1 - \nu_{xy} \nu_{yx}},$$

где

$$\sigma_{xp}(a) = \frac{4E_x}{3\ell^2} \left[(h-a)^2 \frac{df_x(a)}{da} - 4(h-a) \cdot f_x(a) + 2 \int_0^a f_x(\xi) d\xi \right]$$

$$\sigma_{yp}(a) = \frac{4E_y}{3\ell^2} \left[(h-a)^2 \frac{df_y(a)}{da} - 4(h-a) \cdot f_y(a) + 2 \int_0^a f_y(\xi) d\xi \right].$$

или через деформации

$$\sigma_{xp}(a) = -E_x \left[\frac{h-a}{2} \frac{d\varepsilon_x(a)}{da} - 2\varepsilon_x(a) + 3(h-a) \int_0^a \frac{\varepsilon_x(\xi)}{(h-\xi)^2} d\xi \right]$$

$$\sigma_{yp}(a) = -E_y \left[\frac{h-a}{2} \frac{d\varepsilon_y(a)}{da} - 2\varepsilon_y(a) + 3(h-a) \int_0^a \frac{\varepsilon_y(\xi)}{(h-\xi)^2} d\xi \right].$$

Уравнения (16) из-за его особенности при $a = h$ оказываются недостаточно для определения функции $\tau_{xy}(z)$. Необходи-

димо испытать еще одну полоску с теми же исходными напряжениями $\tau_{xy}(z)$, но при этом следует удалить слой материала уже с нижней грани, измеряя соответствующие углы закручивания.

По данным нового опыта можно составить второе интегральное уравнение для $\tau_{xy}(z)$, подобное (16). Полученная система интегральных уравнений должна решаться численным методом. Так как интегралы от ядер этих уравнений на рассматриваемых отрезках интегрирования равны нулю, то решение определяется с точностью до произвольной постоянной. Последняя находится из условия самоуравновешенности напряжений $\tau_{xy}(z)$.

Л и т е р а т у р а

1. И.А.Биргер. Остаточные напряжения. Москва, 1962.
2. С.И.Иванов. Определение остаточных напряжений в пластинке методом полосок. Труды КуАИ, вып.48, 1971.
3. С.Г.Лехницкий. Теория упругости анизотропного тела. Госиздат, 1950.